

Sposób stosowania PSR-IFU (instrukcja obsługi)

205 South 600 West Logan, Utah 84323, Stany Zjednoczone Ameryki – Tel. (800) 729-8350 – 25.07.2022

Zestaw czerwonych bejc Picro-Sirius (Dla kolagenu)

Opis i zasada

Zestaw Picro-Sirius Red Stain Kit (For Collagen) przeznaczony jest do stosowania w histologicznej wizualizacji włókien mięśniowych i kolagenowych w skrawkach tkanek. Barwienie PSR można oglądać za pomocą standardowej mikroskopii świetlnej lub światła spolaryzowanego, co powoduje dwójłomność włókien kolagenowych.

Kolagen i włókna siatkowate są selektywnie barwione przez Sirius Red w silnie kwaśnym roztworze nasyconym kwasem pikrynowym. Sirius Red wiąże się z kolagenem w wysoce uporządkowany równoległy sposób, wzmacniając naturalne właściwości dwójłomne kolagenu.

Oczekiwane rezultaty

Mikroskopia świetlna

Kolagen:	Czerwony
Włókna mięśniowe:	Żółty
Cytoplazma:	Żółty

Mikroskopia światła spolaryzowanego

Kolagen: Dwójłomność żółto-pomarańczowa i zielona

Zawartość zestawu

1. Czerwony roztwór Picro-Sirius
2. Roztwór kwasu octowego (0,5%)

Składowanie

- 18-25°C
- 18-25°C

Sugerowane elementy sterujące (brak w zestawie)

Płuca, macica, mięśnie, nerki.

Zastosowania/ograniczenia

Wyłącznie do diagnostyki in vitro.

Nie używać, jeśli odczynnik zmętnieją lub wytrąca się

Nie używaj przeterminowanej daty ważności.

Należy zachować ostrożność podczas obchodzenia się z odczynnikami.

Niesterylne

Przeznaczony do odcinków FFPE ciętych z prędkością 5-10µm.

Ta procedura nie została zoptymalizowana pod kątem zamrożonych sekcji.

Zamrożone sekcje mogą wymagać modyfikacji protokołu.

Składowanie

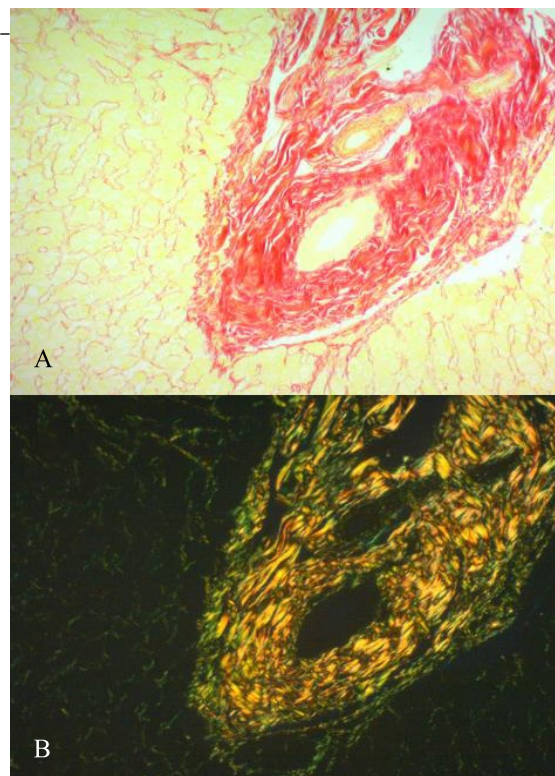
Przechowuj zestaw i wszystkie elementy w temperaturze pokojowej (18-25°C).

Bezpieczeństwo i środki ostrożności

Prosimy o zapoznanie się z aktualnymi kartami charakterystyki (SDS) dla tego produktu i komponentów, klasyfikacją GHS, piktogramami i pełnymi zwrótami wskazującymi rodzaj zagrożenia/środkami ostrożności.

Procedura:

1. W razie potrzeby odparafinować skrawki i uwodnić do wody destylowanej.



2. Zastosuj odpowiedni roztwór Picro-Sirius Red, aby całkowicie pokryć przekrój tkanki i inkubować przez 60 minut.

3. Szybko spłukać szkiełko w dwóch przemianach roztworu kwasu octowego (0,5%).

4. Spłucz szkiełko alkoholem bezużytkiem.
Kolagen w ludzkiej wątrobie wykazany za pomocą Picro-Sirius Czerwony i oglądany pod A) Jasnym polem i B) Światłem

5. Odwodnić w 2 przemianach alkoholu absolutnego, klarownego i zamontować w żywicy syntetycznej.

Odwołania

1. Ferdousy, Raihana Nasrin, Hiroya Kadokawa i Patrick Lonergan. "Określone lokalizacje i ilości zdenaturowanego kolagenu i specyficznego dla kolagenu białka opiekuńczego HSP47 w jajowodach i macicach starych krów w porównaniu z jajówkami". Rozród, płodność i rozwój (2022). <https://doi.org/10.1071/RD21130>.
2. Song, J.W., Ahn, J.W., Lee, M.W. i wsp. Celowana fotoaktywacja teranostyczna na miążdżycę. J Nanobiotechnol 19, 338 (2021). <https://doi.org/10.1186/s12951-021-01084-z>
3. Jiheun Ryu, Ungyo Kang, Joon Woo Song, Junyoung Kim, Jin Won Kim, Hongki Yoo i Bomi Gweon, "Mikroskopia multimodalna do jednoczesnej wizualizacji pięciu różnych modalności obrazowania przy użyciu jednego źródła światła", Biomed. Opt. Express 12, 5452-5469 (2021). <https://doi.org/10.1364/BOE.430677>.
4. Shang, Q., Chu, Y., Li, Y. i wsp. Mezenchymalne komórki zrębowe pochodzące z tkanki tłuszczowej wspomagają gojenie się ran rogówki poprzez przyspieszenie usuwania neutrofilów w rogówce. Śmierć komórki Dis 11, 707 (2020). <https://doi.org/10.1038/s41419-020-02914-y>
5. Mengting Zhu, Yunpeng Chu, Qianwen Shang, Zhiyuan Zheng, Yanan Li, Lijuan Cao, Yongjing Chen, Jianchang Cao, Oscar K. Lee, Ying Wang, Gerry Melino, Guozhong Lv, Changshun Shao, Yufang Shi, Mezenchymalne komórki zrębu

wstępnie potraktowane cytokinami prozapalnymi wspomagają gojenie się ran skóry poprzez angiogenezę za pośrednictwem VEGFC, *Medycyna translacyjna komórek macierzystych*, tom 9, wydanie 10, październik 2020, strony 1218–1232, <https://doi.org/10.1002/sctm.19-0241>

6. Ogino, R.; Hayashida, K.; Yamakawa, S.; Morita, E. Komórki macierzyste pochodzące z tkanki tłuszczowej promują limfangiogenezę wgłobienia poprzez ograniczenie zwłóknienia skóry w napromieniowanej tkance myszy. *Int. J. Mol. Sci.* 2020, 21, 3885. <https://doi.org/10.3390/ijms21113885>

7. Okano S, Yasui A, Kanno SI, Satoh K, Igarashi M, Nakajima O. Kariopherin Alpha 2-ekspresja gruczolów trzustkowych i przewodów wewnątrzwyspowych u starszych myszy transgenicznyc z cukrzycą z mutacją C414A-CRY1. *Dziennik badań nad cukrzycą*. 2019;2019.

8. Moriya C, Imai K, Taniguchi H. PRDM 14 ulega nadekspresji w przewlekłym zapaleniu trzustki przed rakiem trzustki. *LUTY otwarta biografia* 2018 październik; 8(10):1733-41.

9. Narikawa M, Umemura M, Tanaka R, Fujita T, Yokoyama U, Ishigami T, Kimura K, Tamura K, Ishikawa Y. Ostra hipotermia hamuje indukowaną przez TGF- α 1 aktywację fibroblastów serca poprzez tłumienie sygnalizacji Akt. *Raporty naukowe*. 2018 Kwiecień 19; 8(1):6277.

10. R. A. Helmer, R. Martínez-Zaguilán, J. S. Dertien, C. Fulford, O. Foreman, V. Peiris i B. S. Chilton, "Czynnik transkrypcyjny podobny do helikazy (Hltf) reguluje przejście G2/M, sieci transkrypcyjne serca Wt1/Gata4/Hif-1 α i biogenezę kolagenu", *PLoS ONE*, vol. 8, nr 11, s. e80461, listopad 2013.

11. Puchtler H., Waldrop FS, Valentine LS Polaryzacja mikroskopowe badania tkanki łącznej barwionej czerwienią picro-sirius red. *Ścieżka Beitr.* 1973; Tamże, s. 150, strony 174-187.

12. Junqueira L.C.U., Bignolas G., Brentani R.R. Barwienie Picrosirius plus mikroskopia polaryzacyjna, specyficzna metoda wykrywania kolagenu w skrawkach tkanki. *Histochemia J.* 1979, 11, strony 447-455.

13. Whittaker P. Mikroskopia światła spolaryzowanego w badaniach biomedycznych. *Mikroskopia i analiza* 1995; 44, strony 15-17.



ScyTek Laboratories, Inc.
205 South 600 West
Logan, UT 84321
U.S.A.



EC REP

Emergo Europe
Westervoortsedijk 60
6827 AT Arnhem, The Netherlands